

УДК 537.312.62

© 1991

ЭЛЕКТРОСОПРОТИВЛЕНИЕ La_2CuO_4 (ВЛИЯНИЕ НЕСТЕХИОМЕТРИИ)

И. Г. Михайлов, А. Е. Морозовский, С. К. Толпиго, С. К. Ющенко

Температурные зависимости электросопротивления сверхпроводящих образцов La_2CuO_4 с избыточным кислородом либо с отклонением в стехиометрии по металлам, имеют особенность в районе 150—250 К. Эта особенность может быть связана с дополнительным вкладом в сопротивление, имеющим куполообразную температурную зависимость с максимумом в районе 200—220 К и обусловленным происходящим в этой области температур фазовым расслоением.

Как хорошо известно, La_2CuO_4 является антиферромагнитной диэлектрической прафазой ряда высокотемпературных сверхпроводников. В то же время известно, что при определенных условиях синтеза образцы La_2CuO_4 , демонстрирующие антиферромагнитный переход и имеющие полупроводниковую зависимость электросопротивления, переходят в сверхпроводящее состояние с T_c около 40 К [1-3].

В последнее время было выяснено, что La_2CuO_4 обычно содержит избыточный кислород [4, 5], т. е. имеет формулу $\text{La}_2\text{CuO}_{4+y}$, а не $\text{La}_2\text{CuO}_{4-y}$, как предполагалось ранее [6]. Наличие избыточного кислорода приводит к расслоению La_2CuO_4 при температурах ниже комнатной на почти стехиометрический по кислороду La_2CuO_4 и фазу, обогащенную кислородом, которой приписывается состав $\text{La}_2\text{CuO}_{4.08}$ [7, 8]. Именно с этой фазой и связывается наблюдаемая сверхпроводимость с $T_c=40$ К.

Если это так, то в окрестности фазового расслоения должны наблюдаться особенности кинетических и термодинамических характеристик $\text{La}_2\text{CuO}_{4+y}$. Действительно, в ряде работ на температурных зависимостях электросопротивления можно заметить особенность в районе 200—220 К [9, 10].

Настоящая работа посвящена более детальному исследованию электросопротивления нестехиометрических как по кислороду, так и по металлам соединений на основе La_2CuO_4 .

Образцы $\text{La}_2\text{CuO}_{4+y}$, синтезировались по стандартной технологии из смеси окислов La_2O_3 и Cu_2O при 960 °C в течение 3 суток. Нестехиометрия по металлам создавалась путем изменения состава шихты, а величина y изменялась путем длительного (12 ч) отжига образцов в различной атмосфере при различных температурах и выборочно контролировалась по результатам термогравиметрии. Предполагая, что отожженные в вакууме при температуре 600 °C образцы соответствуют формуле La_2CuO_4 ($y=0$), мы обнаружили, что отжиг на воздухе при 900 °C приводит к увеличению y до 0.015.

На рис. 1 представлены температурные зависимости электросопротивления ρ ряда образцов, на которых хорошо видна упоминавшаяся выше особенность в районе 150—250 К.

Анализ показывает, что ниже 100 К зависимость ρ (T) хорошо описывается простой активационной зависимостью

$$\rho(T) = \rho_0 \exp(\Delta/T) \quad (1)$$

с Δ , зависящей от состава образца, где $\ln \rho_0$ — точка, в которой прямая $\ln \rho = f(1/T)$ пересекает ось ординат.

Ниже 40 К все исследованные соединения (кроме подвергнутых термообработке в вакууме) испытывают перколоационного типа переход в сверхпроводящее состояние с диамагнитным откликом, соответствующим сотым долям процента от полного эффекта Мейсснера. Поэтому закон Мотта не наблюдается в изучаемых образцах при низких температурах.

Отклонение экспериментальной зависимости $\rho(T)$ выше 100 К от зависимости (1) естественно связать с дополнительным, зависящим от температуры вкладом $\Delta\rho$, обусловленным фазовым переходом. Его нормированная величина, полученная как разность $\rho(T) - \rho_0 \exp(\Delta/T) = \Delta\rho(T)$,

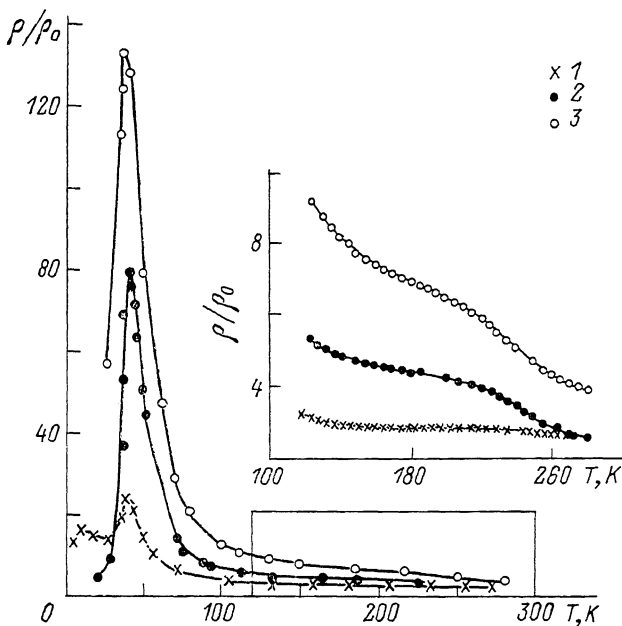


Рис. 1. Температурные зависимости электросопротивления образцов $\text{La}_{2+x}\text{CuO}_{4+y}$ при различных термообработках.

На вставке показаны отмеченные части кривых в увеличенном масштабе. 1 — $x=0.04$, 800 °C; 2 — $x=0$, 200 °C; 3 — $x=-0.2$, 800 °C.

представлена на рис. 2. Как видно из этого рисунка, $\Delta\rho(T)$ имеет вид довольно симметричного купола, соизмеримого по амплитуде с величиной ρ_0 . Положение его максимума T_{\max} для ряда исследованных соединений показано в таблице.

Таблица

Зависимость кинетических и магнитных характеристик исследуемых соединений $\text{La}_{2+x}\text{CuO}_{4+y}$ от нестехиометрии по лантану и температуры отжига ($T_{\text{отж.}}$) в вакууме и на воздухе

x	$T_{\text{отж.}}, \text{ С}$	Среда отжига	$T_{\max}, \text{ К}$	$(\rho - \rho_0 e^{\Delta/T_{\max}})/\rho_0$	$T_N, \text{ К}$
0.04	800	воздух	245	1.071	205
0.02	800	воздух	215	1.677	
0	800	воздух	210	1.297	225
-0.04	800	воздух	205	1.377	235
-0.1	800	воздух	200	0.823	
-0.2	800	воздух	200	0.711	
0	600	воздух	205	1.601	245
-0.04	600	воздух	195	1.901	250
0	200	воздух	200	0.991	
-0.04	200	воздух	200	1.558	
0	600	вакуум	—	0	310

Качественно форма $\Delta\rho(T)$ напоминает магнитный вклад в сопротивление, возникающий вблизи точки магнитного упорядочения. С целью проверки этой возможности мы исследовали температурные зависимости магнитной восприимчивости полученных соединений. Значения температуры Нееля T_N , определенной по положению максимума магнитной восприимчивости, даны в таблице. Как видно, температура максимума $\Delta\rho(T)$ для исследованных образцов уменьшается при увеличении T_N . Кроме того, при изучении влияния магнитного поля на $\rho(T)$ мы не обнаружили никаких изменений $\rho(T)$ вплоть до полей 9 Т. Отметим также, что в хорошо отожженных (в вакууме при высоких температурах) образцах описываемая аномалия $\Delta\rho(T)$ исчезает, а антиферромагнитный переход остается. Это позволяет заключить, что аномалия $\Delta\rho(T)$ не связана с антиферромагнитным упорядочением, а имеет немагнитную природу.

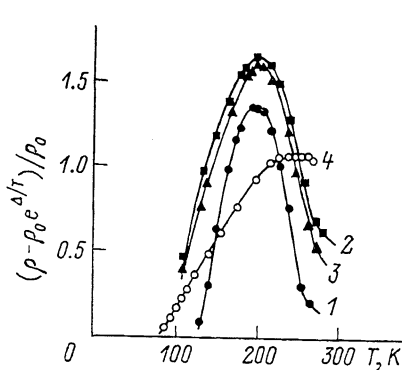


Рис. 2. Зависимости аномальных вкладов в сопротивление от температуры для соединений с разными концентрациями La.

1 — $x = -0.2$, 800 °C; 2 — $x = 0$, 200 °C; 3 — $x = 0$, 600 °C; 4 — $x = 0.04$, 800 °C.

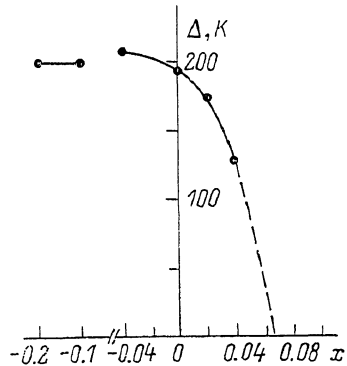


Рис. 3. Зависимость энергии активации проводимости от нестехиометрии x образцов $\text{La}_{2+x}\text{CuO}_{4+y}$, отожженных на воздухе при 800 °C.

Можно предположить, что этот дополнительный вклад в электросопротивление связан со структурным фазовым переходом, например с обсуждающимся в работах [7, 8] расслоением на две фазы, которые отличаются содержанием кислорода. При этом одна фаза (основная) является диэлектрической и антиферромагнитной, а вторая — сверхпроводящей. Рассмотрим доводы, подтверждающие это предположение. Во-первых, величина $\Delta\rho(T)$ существенно зависит от условий термообработки образца, изменяющих только содержание избыточного кислорода (см. рис. 2 и таблицу). Во-вторых, постоянство энергии активации проводимости образца с различными значениями y свидетельствует о том, что концентрация носителей в диэлектрической фазе, определяющей температурный ход сопротивления, практически не меняется. Это находится в соответствии с гипотезой о расслоении, поскольку тогда изменение содержания избыточного кислорода приводит только к изменению концентраций находящихся в равновесии фаз при практическом постоянном их составе.

Кроме того, необходимо отметить, что наличие сверхпроводящего перехода также коррелирует с существованием вклада $\Delta\rho(T)$. Действительно, у образцов, обработанных в вакууме при 600 °C (которые следует считать близкими к стехиометрии по кислороду), отсутствуют и сверхпроводимость, и упомянутая выше особенность в $\rho(T)$.

Можно также отметить, что из предложенной в работе [8] фазовой диаграммы и известной из литературы зависимости T_N от концентрации избыточного кислорода следует, что температура расслоения увеличивается, а T_N уменьшается с ростом концентрации кислорода. В соответствии с гипотезой о расслоении это объясняет упомянутую выше корреляцию между T_{\max} и T_N .

Для получения дополнительной информации мы также исследовали влияние нестехиометрии по металлам на указанные выше параметры электросопротивления (Δ , T_{\max}). Согласно работе [8], отклонение содержания металлов в шихте от соотношения 2 : 1 ведет к образованию $\text{La}_2\text{CuO}_{4+y}$ и избыточного окисла (La_2O_3 или CuO в зависимости от исходного состава). В этом случае температурные зависимости электросопротивления $\text{La}_{2+x}\text{CuO}_{4+y}$ должны быть одинаковы для образцов с разными x , пока $x \ll 2$. Кроме того, картина фазового расслоения также должна быть одинакова. Тем не менее мы наблюдали значительное уменьшение энергии активации проводимости (рис. 3) и изменение амплитуды и T_{\max} дополнительного вклада $\Delta\rho$ (см. рис. 1 и таблицу). Это означает, что по крайней мере при дефиците Cu в шихте (при прочих равных условиях синтеза) изменяются условия образования $\text{La}_2\text{CuO}_{4+y}$. Это приводит, по-видимому, к увеличению содержания избыточного кислорода, о чем свидетельствует рост T_{\max} (повышение температуры расслоения) с ростом x (см. таблицу), а кроме того, к возникновению дефектов в получающихся в результате расслоения фазах. О последнем свидетельствуют уменьшение энергии активации проводимости, а также тот факт, что температура сверхпроводящего перехода $\text{La}_{2+x}\text{CuO}_{4+y}$, всегда на 1–2 К ниже, чем у $\text{La}_2\text{CuO}_{4+y}$.

В заключение резюмируем, что все низкотемпературные особенности электросопротивления нестехиометрических соединений на основе La_2CuO_4 могут быть непротиворечиво объяснены происходящим в районе 150–250 К фазовым расслоением.

Выполнение настоящей работы финансировалось в рамках проекта по высокотемпературной сверхпроводимости № 47.

Список литературы

- [1] Shaheen S. A., Jisrawi N., Lee Y. H. et al. // Phys. Rev. B. 1987. V. 36. N 13. P. 7214–7217.
- [2] Jerome D., Kang W., Parkin S. S. P. // J. Appl. Phys. 1988. V. 63. N 8. P. 4005–4008.
- [3] Бондарь А. В., Лыфарь Д. Л., Михайлов И. Г. и др. // Тез. докл. XVIII Всес. конф. по физике магнитных явлений. Калинин, 1988. С. 31–34.
- [4] Schirber J. E., Morozin B., Merrill R. M. et al. // Physica C. 1988. V. 152. N 1. P. 121–123.
- [5] Jorgensen J. D., Dabrowski B., Shiyou Pei et al. // Phys. Rev. B. 1988. V. 38. N 16. P. 11 337–11 345.
- [6] Johnston D., Stokes J., Goshorn D., Lewandowski J. // Phys. Rev. B. 1987. V. 36. N 7. P. 4007–4010.
- [7] Dabrowski B., Hinks D. G., Jorgensen J. D., Richards D. R. // Preprint. 1988.
- [8] Dabrowski B., Jorgensen J. D., Hinks D. G. et al. // Proceedings Internatational M^3S —HTSC conference. 1989.
- [9] Hsu S. W., Tsaur S. Y., Ku H. C. // Phys. Rev. B. 1988. V. 38. N 1. P. 856–858.
- [10] Yoshizaki R., Sawada H., Iwazumi T. et al. // Sol. St. Comm. 1988. V. 65. N 12. P. 1539–1543.

Институт металлофизики АН СССР
Киев

Поступило в Редакцию
22 июня 1990 г.
В окончательной редакции
11 ноября 1990 г.